

УДК 551.511.32

В. Н. Кожевников  
Н. Н. ЗидлевТЕОРЕТИЧЕСКАЯ КАРТИНА  
ОРОГРАФИЧЕСКИХ ВОЗМУЩЕНИЙ  
В ДВУХСЛОЙНОЙ АТМОСФЕРЕ

Приводится теоретическая картина орографических возмущений в атмосфере с учетом влияния устойчивой стратосферы. Для расчетов используется решение нелинейной двухмерной задачи. Атмосфера предполагается несжимаемой, используется условие адиабатичности, стратосфера ограничивается сверху жесткой горизонтальной стенкой. Для получения горного профиля в виде локализованного гребня используется метод введения особенности на оси  $z$ . Получены новые данные о взаимодействии тропосферы со стратосферой, проводится сопоставление с результатами некоторых предыдущих работ.

При изучении орографических возмущений в атмосфере в последнее время все большее внимание привлекает динамическое взаимодействие между тропосферой и стратосферой. Этот интерес объясняется как необходимостью более тщательного обоснования постановки граничного условия на тропопаузе, так и возросшим вниманием к общей проблеме распространения внутренних гравитационных волн в тропосфере и особенно стратосфере [1, 2].

Ранее в [3] отмечалось, что при изучении орографических возмущений в тропосфере представляет интерес модель, которая более реально, чем это делалось до сих пор, учитывает действие устойчивой стратосферы на явление. В настоящий момент по модели [3] проведена серия расчетов, которая позволяет достаточно детально разобраться в том, что дает учет стратосферы. Сущность используемой модели состоит в следующем. Система нелинейных гидротермодинамических уравнений известным образом в предположении постоянства в невозмущенном натекающем потоке скорости и градиента температуры  $\gamma - dT/dz$  сводится к линейному уравнению Гельмгольца для возмущений функций тока  $\Psi'$  [4—6]. Рассматривается двухслойная модель, нижний слой которой представляет тропосферу, а верхний — стратосферу, в этих слоях коэффициенты уравнения Гельмгольца

$$K_i^2 = \frac{g(\gamma_a - \gamma_i)}{\bar{u}^2 T_c} \quad (1)$$

различны за счет различия градиентов  $\gamma_i$  ( $i=1$  или  $2$ , в тропосфере  $i=1$ ). В (1)  $g$  — ускорение силы тяжести,  $\gamma_a$  — сухоадиабатический градиент, скорость  $\bar{u}$  и средняя температура  $T_c$  одинаковы в обоих жидкостях. Поле линий тока в натекающем потоке определяется линейной зависимостью от высоты  $\bar{\Psi} = -\bar{u}z$ . Возмущения  $\Psi'$  находятся при использовании граничного условия, учитывающего скольжение потока вдоль верхней горизонтальной стенки, ограничивающей стратосферу на высоте  $H_2$ :

$$\Psi'(x, z) = 0 \quad \text{при } z = H_2, \quad (2)$$

а также условий, учитывающих кинематику и динамику взаимодействия двух слоев друг с другом в линеаризованном виде:

$$\Psi'_1 = \Psi'_2, \quad \frac{\partial}{\partial z} (\Psi'_1 - \Psi'_2) = 0 \quad \text{при } z = H_1. \quad (3)$$

Область решения разбивается точкой  $X=0$  на две так, что

$$\Psi' = \begin{cases} \Psi'_- & \text{при } x < 0 \\ \Psi'_+ & \text{при } x > 0, \end{cases} \quad (4)$$

причем  $\Psi'_-$  не содержит волноподобных составляющих возмущения.

Учет действия орографии вводится посредством граничных условий

$$\Psi'_1 = 0 \quad \text{при } z = 0, \quad (5)$$

$$\Psi'_- = \Psi'_+, \quad \frac{\partial}{\partial x} (\Psi'_- - \Psi'_+) = q(z) \quad \text{при } x = 0, \quad (6)$$

$$q(z) = 0 \quad \text{при } z \geq a < H_1, \quad q(z) \neq 0 \quad \text{при } 0 < z < a. \quad (7)$$

Решение в каждом из слоев ищется в виде суперпозиции из функций вида

$$\Psi'_i(x, z) = e^{\pm \sqrt{\lambda_n} x} f_i(z). \quad (8)$$

Спектр собственных значений  $\lambda_n$  определяется из граничных условий (2), (3) и (5). Как было выяснено в [3], этот спектр дискретный и содержит конечное число  $M$  отрицательных значений  $\lambda_n$  и бесконечное число положительных. Общее решение для тропосферы с учетом всех граничных условий имеет вид

$$\begin{aligned} \Psi'_{1-} &= \sum_{n=N+1}^{\infty} \frac{\alpha_n}{2\sqrt{\lambda_n}} e^{x\sqrt{\lambda_n}} \sin \omega_{1n} z, \\ \Psi'_{1+} &= - \sum_{n=1}^N \frac{\alpha_n}{\sqrt{-\lambda_n}} \sin \sqrt{-\lambda_n} x \sin \omega_{1n} z + \sum_{n=N+1}^{\infty} \frac{\alpha_n}{2\sqrt{\lambda_n}} e^{-x\sqrt{\lambda_n}} \sin \omega_{1n} z. \end{aligned} \quad (9)$$

Решение для стратосферы аналогично:

$$\begin{aligned} \Psi'_{2-} &= \sum_{n=N+1}^{\infty} \frac{\alpha_n}{2\sqrt{\lambda_n}} e^{x\sqrt{\lambda_n}} (\beta_n \sin \omega_{2n} z + \delta_n \cos \omega_{2n} z), \\ \Psi'_{2+} &= - \sum_{n=1}^N \frac{\alpha_n}{\sqrt{-\lambda_n}} \sin \sqrt{-\lambda_n} x (\beta_n \cos \omega_{2n} z + \delta_n \cos \omega_{2n} z) + \\ &+ \sum_{n=N+1}^{\infty} \frac{\alpha_n}{2\sqrt{\lambda_n}} e^{-x\sqrt{\lambda_n}} (\beta_n \sin \omega_{2n} z + \delta_n \cos \omega_{2n} z). \end{aligned} \quad (10)$$

В выписанных выражениях

$$\omega_{in} = \sqrt{k_i^2 + \lambda_n}. \quad (11)$$

Коэффициенты  $\beta_n$ ,  $\delta_n$  согласно граничным условиям определяются соотношениями

$$\beta_n = - \frac{\sin \xi \cos[(m+1)\sqrt{\sigma^2 + \xi^2}]}{\sin(m\sqrt{\sigma^2 + \xi^2})}, \quad \sigma^2 = H_1^2(k_2^2 - k_1^2),$$

$$H_2 - H_1 = mH_1,$$

$$\delta_n = \frac{\sin \xi \sin [(m+1)\sqrt{\sigma^2 + \xi^2}]}{\sin (m\sqrt{\sigma^2 + \xi^2})}, \quad \xi = \omega_{1n}H_1 = H_1 \sqrt{k_1^2 + \lambda_n}. \quad (12)$$

Коэффициенты  $\alpha_n$  определяются в силу ортогональности собственных функций задачи  $f_i(z)$  на отрезке  $0 \leq z \leq H_2$  посредством соотношений

$$\alpha_n = \frac{1}{E} \int_0^a q(z) \sin \omega_{1n}z dz,$$

$$B = \int_0^{H_1} \sin^2 \omega_{1n}z dz + \int_{H_1}^{H_2} (\beta_n \sin \omega_{2n}z + \delta_n \cos \omega_{2n}z)^2 dz. \quad (13)$$

Исследования показали, что для наших целей вполне подходит задание источника орографических возмущений с помощью:

$$q(z) = \begin{cases} A \sin \frac{\pi}{a} z & \text{при } 0 \leq z \leq a \\ 0 & \text{при } z > a, \quad a = \frac{\lambda_{c1}}{20}, \end{cases} \quad (14)$$

где, как ранее в [7, 8], используется в качестве характерного масштаба величина

$$\lambda_{ci} = \frac{2\pi}{k_i} = \frac{2\pi \bar{u}}{\sqrt{g \frac{(\gamma_a - \gamma_i)}{T_c}}}. \quad (15)$$

В соответствии с (13), (14)

$$\alpha_n = \frac{A\pi a \sin \omega_{1n}a}{B(\pi^2 - \omega_{1n}^2 a^2)}. \quad (16)$$

Конкретные свойства построенного решения проанализированы при тех же, что и в [3], значениях определяющих параметров задачи, а именно:  $\gamma_1 = 6,6$ ,  $\gamma_2 = -1,5$ ,  $\gamma_a = 9,86$  о/км;  $H_1 = 10$  км;  $H_2 = 40$  км. При этом  $T_c = 260$  К;  $K_1^2 = 0,648$  км<sup>-2</sup>;  $K_2^2 = 1,903$  км<sup>-2</sup>;  $\sigma^2 = 125,5$ ;  $m = 3$ ;  $\lambda_{c1} = 7,8$  км;  $\lambda_{c2} = 4,6$  км,  $A = 24,3$  м/с,  $\bar{u} = 15$  м/с.

Величина  $B$  в (16), как нетрудно видеть, определяется выражением

$$B = \frac{1}{2} H_2 - \frac{\sin 2\omega_{1n}H_1}{4\omega_{1n}} - \frac{\sin 2\omega_{2n}(H_2 - H_1)}{4\omega_{2n}}. \quad (17)$$

В расчетах последнее слагаемое (17) не учитывалось. Погрешность такого упрощения можно приближенно учесть, исходя из того, что

$$\left| \frac{\sin 2\omega_{2n}(H_2 - H_1)}{4\omega_{2n}} \right| \ll \frac{1}{4\omega_{2n}}, \quad B \approx \frac{1}{2} H_2 \approx 20 \text{ км.}$$

При  $n=1$  данное упрощение тогда приводит к ошибке, не превышающей 1%, при  $n=30$  ошибка меньше 0,3% и далее быстро уменьшается с ростом  $n$ . С учетом действия синуса в числителе указанная ошибка в большинстве случаев примерно вдвое меньше и ею можно пренебречь. В данной работе выяснилось, что экспоненциальные слагаемые решения (9), (10) имеют большее значение, чем это представлялось в [3].

Спектр собственных значений задачи поэтому был исследован более подробно. Наиболее важные из собственных значений представлены в таблице.

$n$	1	2	3	4	5	6	7	8
$\lambda_n, \text{км}^{-2}$	-0,554	-0,446	-0,282	-0,146	0,061	0,264	0,441	0,686
$L_n, \text{км}$	8,43	9,40	11,8	16,4	—	—	—	—
$L_{1n}^*, \text{км}$	20,5	13,9	10,4	8,88	7,45	6,64	6,03	5,46
$L_{2n}^*, \text{км}$	5,41	5,23	4,86	4,75	4,48	4,30	4,13	3,92
$n$	9	10	30	50	70	100	—	150
$\lambda_n, \text{км}^{-2}$	0,912	1,150	8,795	21,64	39,97	78,36	—	167,8
$L_{1n}^*, \text{км}$	5,06	4,72	2,04	1,33	0,98	0,70	—	0,48
$L_{2n}^*, \text{км}$	3,76	3,60	1,93	1,27	0,97	0,70	—	0,48

Первым четырем из них соответствуют «чисто волновые» слагаемые в решении. Действие этих слагаемых учитывается практически без погрешности. Начиная с  $n=5$  собственные значения положительны и им в решении соответствуют бесконечные ряды экспоненциальных слагаемых. В практических расчетах приходится обрезать эти ряды конечным числом слагаемых; в данной работе мы ограничивались  $n=150$ . Погрешности такого упрощения можно оценить с помощью свойств ряда

$$\sum_{n=5}^{\infty} \frac{\alpha_n}{\sqrt{\lambda_n}} = \sum_{n=5}^{\infty} \frac{A_n a}{B} \frac{\sin \omega_{1n} a}{\sqrt{\lambda_n} (\pi^2 - \omega_{1n}^2 a^2)} \quad (18)$$

Зависимость коэффициентов этого ряда от  $n$  практически определяется вторым сомножителем. Эта зависимость для всех используемых в расчетах слагаемых иллюстрируется рис. 1. При достаточно больших  $n$  амплитуда коэффициентов убывает практически как  $\lambda_n^{-3/2}$  или согласно свойствам  $\lambda_n$  как  $n^{-3}$ . Кроме того, за счет  $\sin \omega_{1n} a$  коэффициенты ряда больших  $n$  меняют знак. В итоге получаем вывод о достаточно быстрой сходимости ряда (18). Оценка неточности (18) за счет обреза ряда должна производиться с учетом того, что  $\sin \omega_{1n} a$  меняет знак примерно через 80 номеров, вблизи  $n=150$ , а знаменатель нарастает почти как  $n^3$ . Конкретно эта оценка приближенно может быть сделана с помощью соотношений

$$\begin{aligned} \sum_{n=150}^{310} \frac{\alpha_n}{\sqrt{\lambda_n}} &\approx \frac{1}{2} \frac{\alpha_{150}}{\sqrt{\lambda_{150}}} \left[ \sum_{n=151}^{230} \left( \frac{150}{n} \right)^3 - \sum_{n=231}^{310} \left( \frac{150}{n} \right)^3 \right] \approx \\ &\approx \frac{0,23}{2} (43 - 15) \approx 3,2. \end{aligned}$$

Так как сумма ряда (18) при использовании максимального  $n=150$  дает величину 223,8, то значит неточность нашего представления (18) не выходит за пределы 1,5%. Поскольку при удалении от  $X=0$  роль экспоненциальных слагаемых в решении заметно падает, то в целом по большей части поля, где проводились расчеты, погрешность за этот счет существенно меньше и вполне пренебрежима.

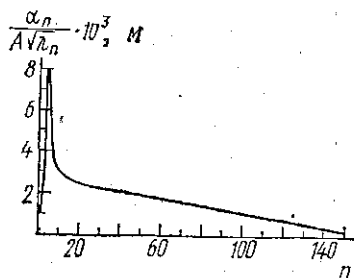


Рис. 1. Зависимость амплитуды коэффициентов  $\alpha_n / A\sqrt{\lambda_n}$  от порядкового номера  $n$

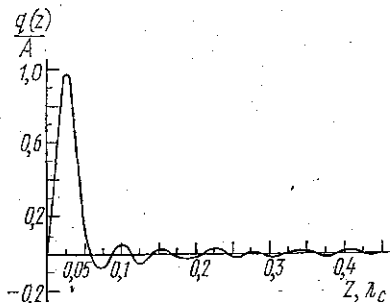


Рис. 2. Зависимость  $q(z)$ , определяемая построенным решением

Большое значение имеет также вопрос о том, насколько надежно в практических расчетах обеспечивается требование (6), (7) о непрерывности производных от  $\Psi'$  вдоль  $X=0$  при  $z>a$ . Проверка этого требования проводилась посредством соотношения

$$q(z) = \sum_{n=1}^{150} \alpha_n f_n(z). \quad (19)$$

Результаты расчетов по (19) представлены на рис. 2, откуда видно, что наибольшее отклонение от исходных требований наблюдается вблизи уровня  $0,075 \lambda_{c1}$  и не превышает 8% от максимальной амплитуды  $q(z)$ .

С увеличением высоты эти отклонения достаточно быстро уменьшаются и для  $z>0,28 \lambda_{c1}$ , т. е. выше 2,2 км, они не превышают 1,6%. Этот результат, видимо, следует считать неплохим.

Если изменение свойств возмущений в горизонтальной плоскости характеризуется длинами волн

$$L_n = \frac{2\pi}{\sqrt{-\lambda_n}}, \quad n = 1, 2, 3, 4, \quad (20)$$

то изменение свойств по вертикали характеризуется длинами

$$L_{in}^* = \frac{2\pi}{\omega_{in}}, \quad n = 1, 2, 3 \dots \quad (21)$$

Значения этих величин, приведенные в таблице, показывают, что в тропосфере длины волн изменений волновых слагаемых как по горизонтали, так и по вертикали примерно одинаковы, а в стратосфере они почти вдвое меньше самой короткой длины волны в тропосфере. Экспоненциальные слагаемые по вертикали меняются в основном с заметно меньшей длиной волны: слагаемые с наиболее заметными амплитудами со значениями  $n$  от 5 до 10 имеют длины волн, равномерно уменьшающиеся от 7,4 до 4,7 км в тропосфере и от 4,5 до 3,6 км в стратосфере.

Результаты расчетов поля  $\Psi'$  представлены на рис. 3. Расчеты проводились на БЭСМ-6 для 50 горизонтальных уровней с шагом через  $1/16 \lambda_{c1}$ . На каждом из уровней расчеты велись в диапазоне  $-2\lambda_{c1} \leq x \leq$

$\leq 4^{19}/20\lambda_{c1}$  с шагом  $\Delta x = 1/10\lambda_{c1}$  по всему полю и с  $\Delta x = 1/20\lambda_{c1}$  вблизи  $X=0$ . Вследствие малости амплитуд представленное на рисунке поле изолиний  $\Psi'$  практически воспроизводит поле траекторий (см. [8]). На уровне  $z = 1/16\lambda_{c1}$  линия тока, как видим, имеет вид локализованного по горизонтали одиночного достаточно резкого выступа. Его максимальная высота  $h$  около  $0,1\lambda_{c1}$ , т. е.  $\sim 0,78$  км; ширина основной части  $\sim 0,4\lambda_{c1}$  ( $\sim 3$  км), а всего выступа  $\sim 0,9\lambda_{c1}$  ( $\sim 7$  км). Вниз по потоку за главным выступом линия тока имеет слабые волноподобные колебания.

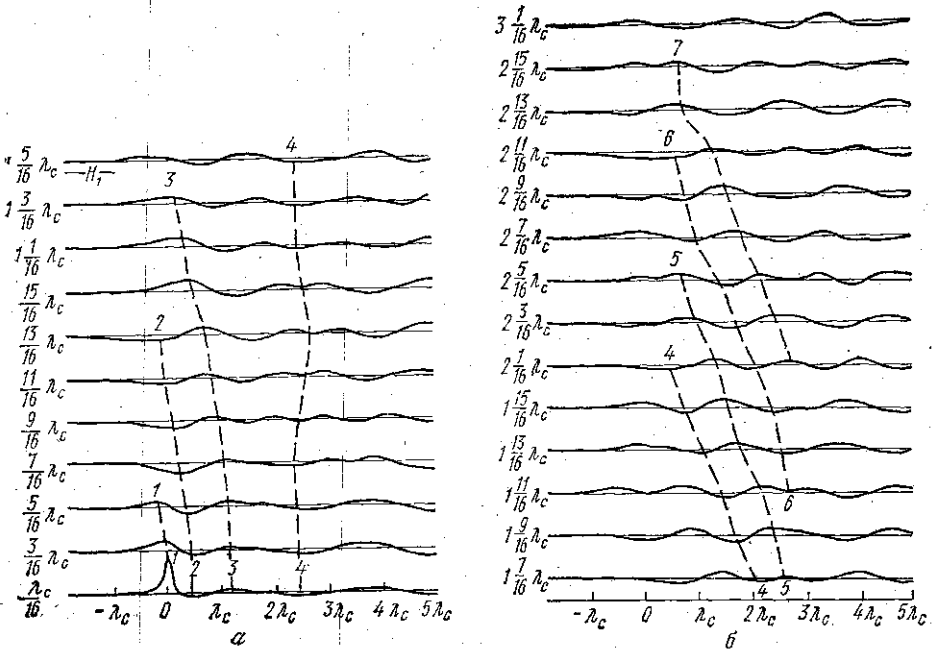


Рис. 3. Поле возмущений функции тока: а — в тропосфере, б — в стратосфере (пунктир — изолинии одинаковых фаз)

Первые четыре гребня этих волн без учета их знака имеют амплитуды, не превышающие  $0,005\lambda_{c1}$ , т. е.  $1/20$  максимальной высоты главного выступа, пятый гребень имеет амплитуду чуть большую (около  $0,008\lambda_{c1}$ ). Чередование гребней у этих колебаний происходит с длиной волны порядка  $(2 \div 2,7)\lambda_{c1}$ . Уровень  $1/16\lambda_{c1}$  в дальнейшем принимаем за уровень Земли, так что рис. 3 дает представление о картине обтекания практически одиночного хребта. Аналогично [8] посредством соответствующей суперпозиции на основе полученного решения можно получить картину обтекания практически любого профиля. Характеризовать свойства орографических возмущений рис. 3 можно с помощью линий одинаковых фаз  $\Psi'$ , выделенных на рисунке пунктиром. Изменение амплитуд возмущений вдоль этих линий в зависимости от уровня над землей достаточно полно иллюстрируется кривыми, представленными на рис. 4. Эти данные позволяют отметить следующее.

1. Прямое действие главного выступа возмущения рельефа распространяется вверх незначительно — примерно лишь до высот  $0,31\lambda_{c1} \approx 2,4$  км над землей (изолиния равных фаз 1). На смену этому положительному возмущению главным становится отрицательное возмущение (изолиния 2), которое достигает максимальной амплитуды на уровне около  $0,43\lambda_{c1}$  над землей и вырождается где-то около  $0,8\lambda_{c1}$ .

2. Начиная с уровня порядка  $0,5\lambda_{c1}$  над землей возмущения имеют характер подветренных волн. Заметного затухания с высотой у этих

волн не наблюдается ни в тропосфере, ни в стратосфере. Максимальное значение амплитуд в тропосфере составляет около  $0,02 \lambda_{c1}$  (кривая 3 рис. 4), в стратосфере  $\sim 0,016 \lambda_{c1} \simeq 0,026 \lambda_{c2}$  (кривая 4).

3. Величина амплитуд подветренных волн с высотой изменяется в какой-то мере периодически с длиной волны в тропосфере ( $0,6 \div 1,0$ )  $\lambda_{c1}$  и в стратосфере ( $0,14 \div 0,21$ )  $\lambda_{c1} \simeq (0,24 \div 0,36) \lambda_{c2}$ . Интересно, что эти величины заметно меньше соответствующих длин волн  $L_{ni}$  таблицы.

Вдоль горизонталей чередование гребней у линии тока рис. 3 происходит с длиной волны, изменяющейся в диапазоне ( $0,8 \div 3,0$ )  $\lambda_{c1}$ . Чет-

ко при этом не проявляется ни одна из  $L_n$  таблицы. Не исключено при этом, что длина волны  $\sim 2,5 \lambda_{c1}$  определяется наличием такой составляющей у линии рельефа. В целом изменения возмущений по пространству свидетельствуют, что в решении существенное значение имеет суперпозиция всех слагаемых.

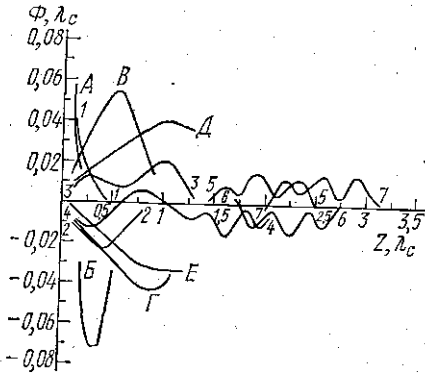


Рис. 4. Зависимость от  $z$  амплитуды возмущений  $\Phi'$  вдоль одинаковых фаз: 1—7 — изолинии рис. 3; А, Б, В, Г, Д, Е — по данным [7]

4. Интересно проследить за тем, как меняется положение изолиний выделенных фаз в пространстве. Здесь прежде всего видим, что с увеличением высоты изолинии раздвигаются, а на некоторых высотах между ними появляются новые изолинии, расстояние между которыми вначале говорит о близости горизонтальной длины волны  $\lambda_{c1}$ , а выше это расстояние в тропосфере возрастает примерно вдвое, а в стратосфере еще больше. Этот эффект напоминает дробление длинных волн на более короткие; в тропосфере это происходит вблизи уровня  $7/16 \lambda_{c1}$ , а в стратосфере последовательно на уровнях  $17/16, 2, 25/16, 2^{10}/16, 2^{15}/16 \lambda_{c1}$ , т. е. с большей регулярностью через каждые  $5/16 \lambda_{c1} \simeq 0,53 \lambda_{c2}$  высоты.

Изолинии равных фаз вблизи наветренного края потока с высотой наклоняются навстречу потоку, ниже по потоку изолинии с высотой могут наклоняться также и в обратном направлении. В целом положение изолиний наводит на мысль о распространении возмущений снизу вверх и сносу их потоком.

5. В наветренную сторону, как и в других работах (см., например, [7, 9, 10]), возмущения распространяются на расстояния порядка  $\lambda_{c1}$ .

6. Интересно отметить, что подветренно-волновые возмущения приблизительно повторяют свою форму на различных уровнях. Такое повторение, например, можно отметить в тропосфере на уровнях  $1/4$  и  $1^{1/4}/4 \lambda_{c1}$  и менее отчетливо в стратосфере на уровнях  $1^{14}/16, 2^3/16, 2^{13}/16 \lambda_{c1}$ . Повторение в тропосфере происходит примерно с периодом  $\lambda_{c1}$ , в стратосфере  $\sim 0,73 \lambda_{c1} \simeq 1,2 \lambda_{c2}$ .

Полученные здесь результаты интересно сопоставить с некоторыми предыдущими работами, где представлены достаточно подробные расчеты траекторий обтекания. Сопоставление начнем с [7, 9], где решалась аналогичная нелинейная задача для препятствия в виде полуцилиндра в случае, когда свойства тропосферы экстраполировались вверх на всю толщу атмосферы и тем самым предполагалось свободное распространение возмущений вверх без какого-либо отражения от вышележащей стратосферы. Исходя из того что интенсивность орографических возмущений определяется площадью обтекаемого препятствия, вначале был определен радиус полуцилиндра  $r_0$ , при котором его площадь совпадала с площадью главного импульса возмущений рельефа

на рис. 3. Оказалось, что  $r_0 = 0,803$  км. Больше других из примеров [7] для нашего сопоставления подходит случай, когда безразмерный параметр задачи  $\xi_0$  имеет минимальное значение, равное 1, и величина характерного масштаба, определяемая выражением

$$\lambda_c = \frac{2\pi}{\xi_0} r_0,$$

составляет величину  $\sim 5,0$  км. Изолинии одинаковых фаз, проведенные на соответствующем рисунке [7], позволили аналогично данной работе оценить зависимость амплитуд возмущений от высоты. Полученные таким путем кривые приведены на рис. 4 и отмечены по мере удаления от горы последовательно буквами А, Б, В, Г, Д, Е. Эти кривые, а также соответствующее поле линий тока [7] (оно повторено на рис. 2 [9]) позволяют отметить, что изложенные в пунктах 1, 2, 5 свойства качественно согласуются с результатами [7, 9]. Количественное различие прежде всего заметно в величине амплитуд волн: в [7, 9] она более чем в 4 раза больше и составляет  $\sim 0,087 \lambda_{c1}$  или в долях собственного масштаба  $\sim 0,137 \lambda_c$ . Это расхождение можно объяснить различием в постановке верхнего граничного условия, различием в форме препятствия, большее значение здесь должно также иметь различие между  $\lambda_c$  и  $\lambda_{c1}$ . В связи с этим полезно обратиться к рис. 1 [9], на котором дана картина обтекания в случае, когда в прежних терминах  $\xi_0 = 0,5$  и значит,  $\lambda_c \approx 10,1$  км, что заметно больше  $\lambda_{c1}$ . Заметное вырождение подветренных волн на этом рисунке подтверждает в какой-то мере вывод о большом значении соответствия  $\lambda_c$  величине  $\lambda_{c1}$  при оценке различия амплитуд волн.

Можно сравнить результаты данной работы с результатами [10—12], где решались линеаризованная задача обтекания в нескольких вариантах постановки граничных условий. В [10] задача решалась для неограниченной атмосферы в аналогичном [7, 9] варианте, в частности  $\bar{h}$  и  $\gamma$  полагались постоянными по высоте. Препятствие имело форму прямоугольного выступа с высотой  $h \approx 0,6$  км и площадью в 1,8 раза большей, чем у нашего хребта. Величина  $\lambda_c = 7,7$  км, т. е. практически совпадала с  $\lambda_{c1}$ . Максимум амплитуды волн здесь составлял  $\sim 0,062 \lambda_c$ , что почти втрое больше, чем в данной работе. В [11, 12] явление изучалось в рамках многослойной модели, в верхнем слое которой предполагается затухание всех возмущений. Нижнее основание верхнего слоя в обоих работах лежит на высотах 2,5 и 2,8 км, так что сравнение решений можно проводить только в нижней трети тропосферы. В целом постановка верхнего граничного условия в [11, 12] скорее соответствует предположению о свободном прохождении энергии возмущений через тропопаузу, чем учету стабилизирующего действия устойчивой стратосферы. Особенность постановки [11, 12] позволяла также в определенной мере рассматривать влияние изменений скорости с высотой. Форма препятствия в обоих работах была близкой к нашей и примерно той же площади, максимальная высота  $h$  составляла  $\sim 0,5$  км. В [11] величина  $\lambda_c = 5,2$  км, скорость в нижней части нижнего слоя была постоянной, затем росла и в верхнем слое вновь становилась постоянной. Максимальное значение амплитуды волн было в четыре раза больше, чем в данной работе, и составляло  $\sim 0,080 \lambda_c$  ( $\sim 0,4$  км). В [12] величина  $\lambda_c = 7$  км, т. е. практически совпадала с  $\lambda_{c1}$ , скорость монотонно росла вверх и, кроме того, в нижнем полуклометровом слое градиент температуры равнялся сухоадиабатическому. Максимальное значение амплитуды волн составляло  $\sim 0,014 \lambda_c$ , т. е. было чуть меньшим, чем в данной работе, вероятно, сказались наличие приземного адиабатического слоя и быстрое увеличение скорости с высотой. Результаты [10—12] вновь подтверждают качественно выводы пунктов 1, 2, 5, одновременно, с этим они, как и [7, 9],



обращают внимание на то, что характер изменений возмущений в пространстве по прежним расчетам представлялся более простым, ибо не было в нем такого разнообразия в наклоне изолиний равных фаз, такого широкого изменения длин волн по пространству, не обнаруживалось уровней дробления длинных волн на ряд коротких и т. д.

Вместе с этим приходится констатировать, что проведенное сопоставление не дает возможности оценить, насколько отмеченные расхождения определяются новым подходом к учету действия стабильной стратосферы — сказываются различия в свойствах натекающего потока и, в частности, в величине  $\lambda_c$ , различия в размерах и формах обтекаемых хребтов и т. д.

В заключение авторы выражают признательность Л. А. Дикому за высказанные критические замечания, которые способствовали существенным уточнениям первоначального варианта выполненной работы.

#### ЛИТЕРАТУРА

1. Danielsen E. F., Bleck R. «Journ. Atm. Sci.», 1970, 27, N 5.
2. Жукова Л. П., Трубников Б. Н. В Тр. ЦАО, вып. 76, 1967.
3. Кожевников В. Н. «Изв. АН СССР. Физика атмосферы и океана», 1975, 9, № 8.
4. Кожевников В. Н. «Изв. АН СССР. Геофизика», 1963, № 7.
5. Гутман Л. Н. Введение в нелинейную теорию мезометеорологических процессов, 1969.
6. Кожевников В. Н. В Тр. ЦАО, вып. 98, 1970.
7. Кожевников В. Н. «Изв. АН СССР», ФАО», 1968, 4, № 1.
8. Кожевников В. Н., Козодеров В. В. «Изв. АН СССР. Физика атмосферы и океана», 1970, 6, № 10.
9. Miles J. W. «J. Fluid. Mech.», 1968, 33, 4.
10. Lyra G. «Z. angew. Math. und Mech.», 1943, 23, 1.
11. Scorer R. S. QZRMS, 1949, 75, N 323.
12. Scorer R. S. QZRMS, 1953, 79, N 339.

Поступила в редакцию  
16.11. 1976 г.  
Кафедра  
физики атмосферы